



ROBÓTICA ( 86.15 )

UNIVERSIDAD DE BUENOS AIRES  
FACULTAD DE INGENIERÍA  
Año 2019 - 2<sup>do</sup> cuatrimestre

TRABAJO PRÁCTICO N.º 4  
TEMA: Generador de trayectoria  
FECHA: 1 de diciembre de 2019

INTEGRANTE:

Nastasi, Franco Gabriel  
fnastasi@fi.uba.ar

- #100002

## Resumen

## 1. Introducción

Se plantea el problema directo e inverso para un robot SCARA con  $a_1 = a_2 = 200 \text{ mm}$ . Para ello se toman las ternas como se ve en la imagen 1.1 y se obtiene la siguiente tabla de denavit hartenberg, donde las variables articulares son  $\theta_1, \theta_2, d_3$  y  $\theta_4$ ,

	$\theta$	$d$	$a$	$\alpha$
1	$\theta_1$	0	$a_1$	0
2	$\theta_2$	0	$a_2$	0
3	0	$d_3$	0	0
4	$\theta_4$	0	0	0

Tabla 1.1: Parámetros D-H

A partir de la tabla 1.1 se obtienen las matrices homogéneas que  $A_i^{i+1}$  con  $i = \{0, 1, 2, 3\}$  y el problema directo del robot SCARA queda resuelto:

$$A_0^4 = \prod_{i=0}^3 A_i^{i+1} = \left[ \begin{array}{ccc|c} C_{124} & -S_{124} & 0 & a_2 C_{12} + a_1 C_1 \\ S_{124} & C_{124} & 0 & a_2 S_{12} + a_1 S_1 \\ 0 & 0 & 1 & d_3 \\ 0 & 0 & 0 & 1 \end{array} \right] \quad (1.1)$$

Donde  $C_{124} = \cos(\theta_1 + \theta_2 + \theta_4)$ ,  $S_{124} = \sin(\theta_1 + \theta_2 + \theta_4)$ ,  $C_{12} = \cos(\theta_1 + \theta_2)$  y  $S_{12} = \sin(\theta_1 + \theta_2)$   
Para resolver el problema inverso, se parte de la ecuación 1.1. Sea  $A_0^4$

$$A_0^4 = \left[ \begin{array}{ccc|c} \vec{n} & \vec{s} & \vec{a} & \begin{matrix} P_x \\ P_y \\ P_z \end{matrix} \\ 0 & 0 & 0 & 1 \end{array} \right] \quad (1.2)$$

Se tiene que:

$$d_3 = P_z \quad (1.3)$$

$$P_x^2 = (a_2 C_{12} + a_1 C_1)^2 = a_2 C_1 C_2 - a_2 S_1 S_2 + a_1 C_1$$

$$P_y^2 = (a_2 S_{12} + a_1 S_1)^2 = a_2 S_1 C_2 + a_2 C_1 S_2 + a_1 S_1$$

$$P_x^2 + P_y^2 = a_1^2 + a_2^2 + 2a_1 a_2 C_2 \Rightarrow C_2 = \frac{P_x^2 + P_y^2 - a_1^2 - a_2^2}{2a_1 a_2} \quad (1.4)$$

A partir de la ecuación anterior se puede llegar al valor de  $\theta_2$  y se ve que aparece un índice de configuración:

$$\theta_2 = \arctan2(\pm\sqrt{1 - C_2^2}, C_2) \quad (1.5)$$

$$g = \text{sign}(S_2) \quad (1.6)$$

Para obtener el valor de  $\theta_1$ , se parte de las ecuaciones de  $P_x$  y  $P_y$  sabiendo el valor de  $\theta_2$ :

$$P_x = a_2 C_1 C_2 - a_2 S_1 S_2 + a_1 C_1 = (a_2 C_2 + a_1) \times C_1 - a_2 S_2 \times S_1$$

$$P_y = a_2 S_1 C_2 + a_2 C_1 S_2 + a_1 S_1 = a_2 S_2 \times C_1 + (a_2 C_2 + a_1) \times S_1$$

De esta forma se llega a un sistema de ecuaciones:

$$\begin{bmatrix} P_x \\ P_y \end{bmatrix} = \begin{bmatrix} a_2 C_2 + a_1 & -a_2 S_2 \\ a_2 S_2 & a_2 C_2 + a_1 \end{bmatrix} \begin{bmatrix} C1 \\ S1 \end{bmatrix} \quad (1.7)$$

$$\begin{bmatrix} C1 \\ S1 \end{bmatrix} = \begin{bmatrix} a_2 C_2 + a_1 & -a_2 S_2 \\ a_2 S_2 & a_2 C_2 + a_1 \end{bmatrix}^{-1} \begin{bmatrix} P_x \\ P_y \end{bmatrix} \quad (1.8)$$

Donde se observa que el determinante de la matriz es igual a  $a_1^2 + a_2^2 + 2a_1 a_2 C_2$ . Es decir que no es posible calcular la matriz inversa cuando

$$C2 = -\frac{a_1^2 + a_2^2}{2a_1 a_2} \Big|_{a_1=a_2} = -1; \Rightarrow \theta_2 = \pi$$

Efectivamente, en la condición  $\theta_2 = \pi$ , el TCP se encuentra sobre el eje 1 y cualquier valor de  $\theta_1$  es solución del problema inverso. Debido a los topes mecánicos, no se tiene en cuenta esta situación y siempre es posible obtener un valor de  $\theta_1$

$$\theta_1 = \arctan2(S1, C1) \quad (1.9)$$

Por último se tiene que

$$\tan(\theta_1 + \theta_2 + \theta_4) = \frac{S_{124}}{C_{124}} = \frac{n_y}{n_x} \Rightarrow \theta_4 = \arctan2(n_y, n_x) - \theta_1 - \theta_2 \quad (1.10)$$

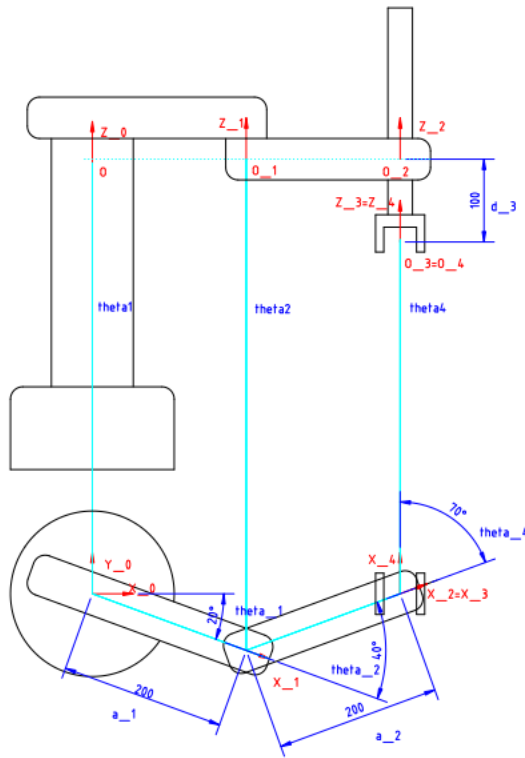


Figura 1.1: Posición y orientación de las ternas para resolver el problema directo del robot SCARA

## 2. Desarrollo

Se generaron las funciones correspondientes para calcular la evolución en el tiempo de las variables articulares a partir de un movimiento del tipo *joint*. Para ello se utilizaron los resultados de la sección anterior y se utilizaron las ecuaciones de las zonas I y II del movimiento *joint*. Se verificó el resultado para el siguiente movimiento de la TCP :

$$POSE1 \rightarrow POSE2 \rightarrow POSE1 \quad (2.1)$$

Con:

$$POSE1 = [200 \quad 200 \quad -100, 0, 1]$$

$$POSE2 = [200 \quad 200 \quad -200, 0, -1]$$

Donde además se supone que el movimiento empieza y termina con velocidad nula. El resultado obtenido se puede observar en las siguientes imágenes. Se observa que por los valores de velocidad máxima de los ejes, los tiempos deseados de cada movimiento entre las POSEs y tomando un  $t_{acc} = 200 \text{ ms}$ , se obtuvo un tiempo de trayectoria de 1 s. en las figuras se puede observar que durante los tiempos de aceleración el movimiento tiene forma de parábola mientras que fuera de estos, la velocidad es constante. Además se observa que los valores finales de las variables articulares de cada trayectoria entre las POSE coinciden con lo que se obtiene al resolver el problema inverso, aunque para el punto medio no se alcanzan como era de esperarse:

$$POSE1 \rightarrow \theta_1 = 0; \theta_2 = 90; d_3 = -100; \theta_4 = -90; \quad (2.2)$$

$$POSE2 \rightarrow \theta_1 = 90; \theta_2 = -90; d_3 = -200; \theta_4 = 0; \quad (2.3)$$

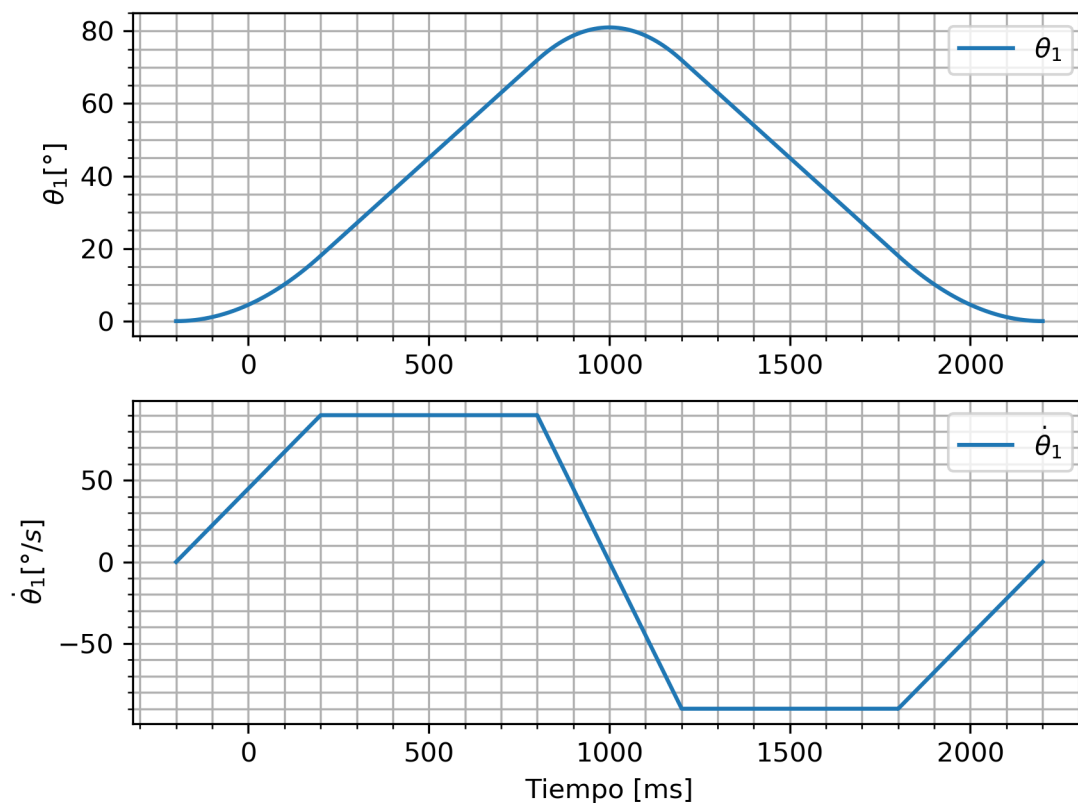
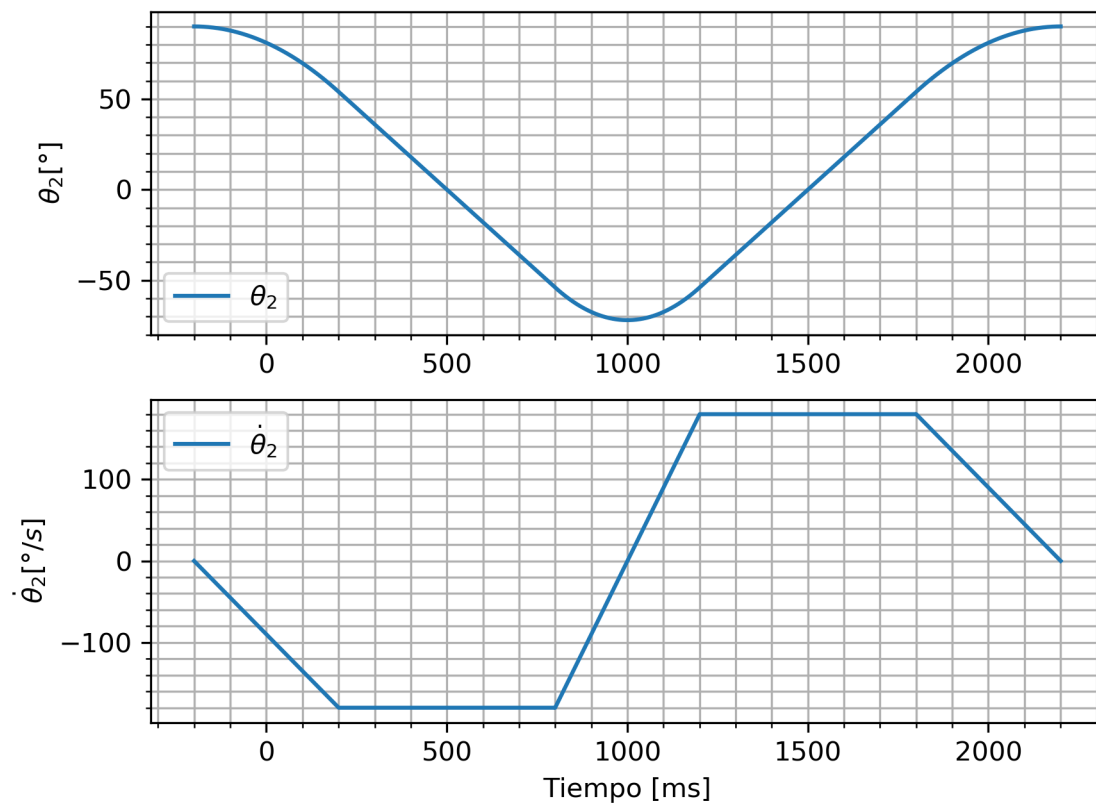
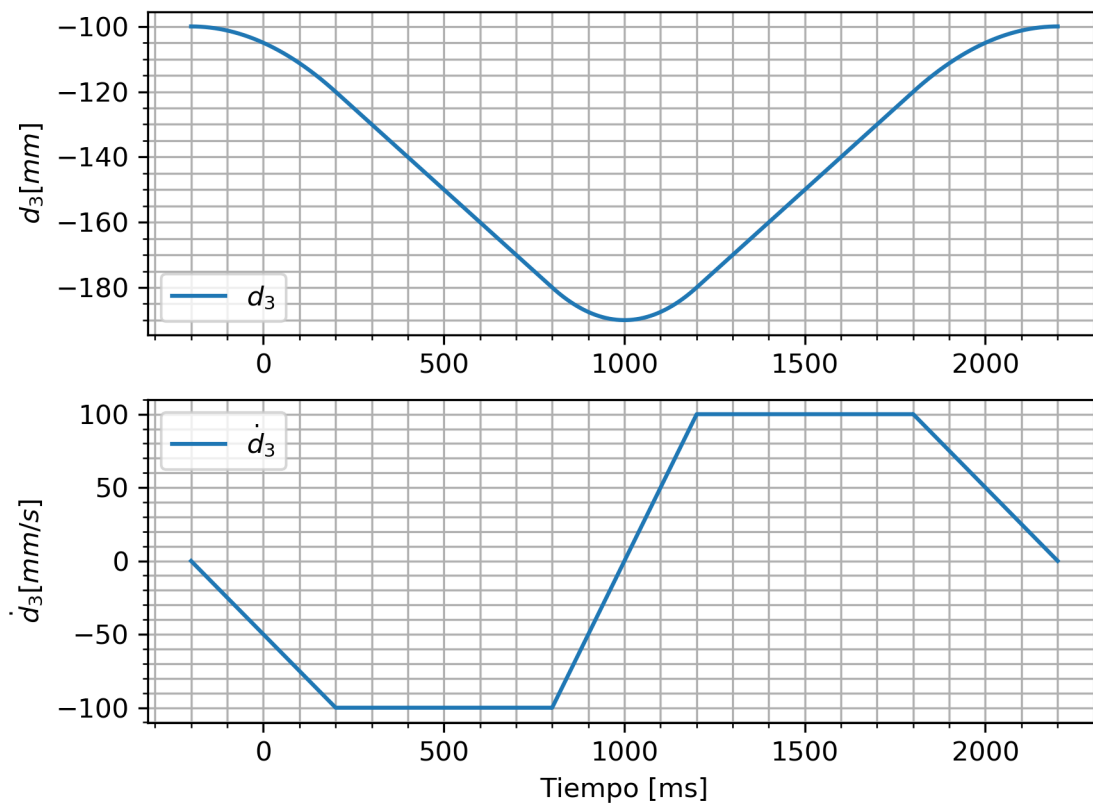


Figura 2.1: Evolución en el tiempo de  $\theta_1$  y  $\dot{\theta}_1$

Figura 2.2: Evolución en el tiempo de  $\theta_2$  y  $\dot{\theta}_2$

Figura 2.3: Evolución en el tiempo de  $d_3$  y  $\dot{d}_3$

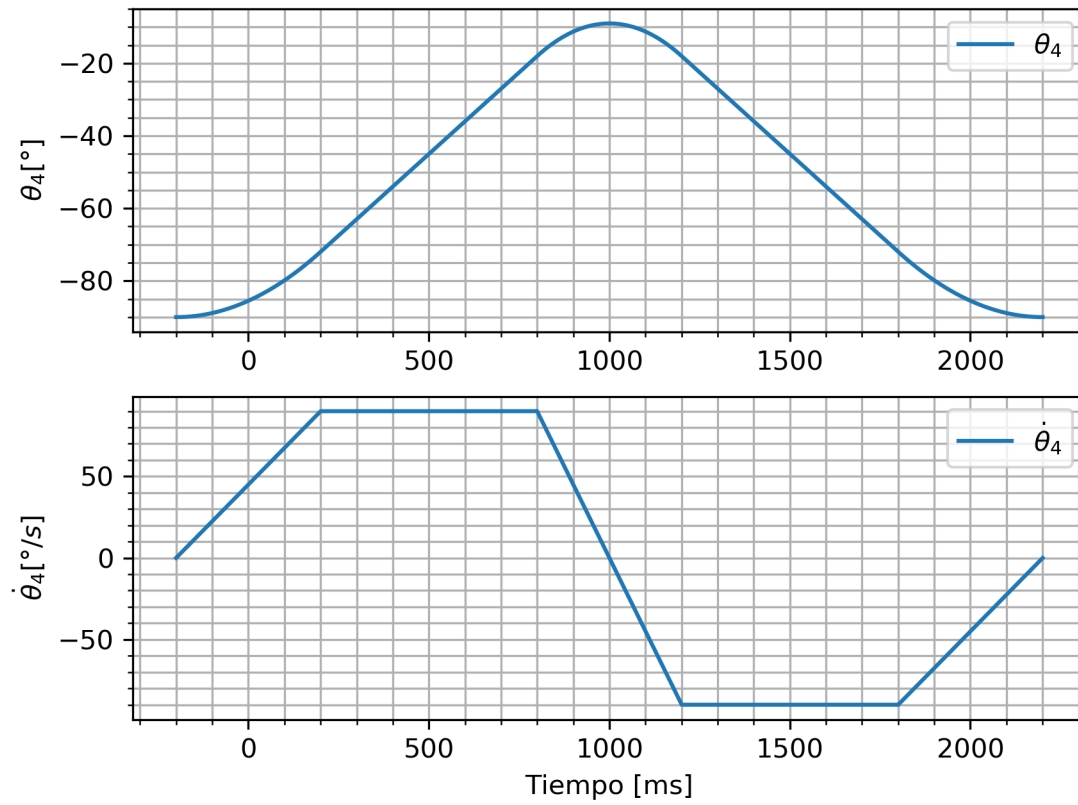


Figura 2.4: Evolución en el tiempo de  $\theta_4$  y  $\dot{\theta}_4$

También se graficaron todas las curvas juntas, en donde se observa en la figura 2.6, que las velocidades de  $\theta_1$  y  $\theta_4$  coinciden ya que como se observa en la figura 2.5, estas 2 variables articulares difieren en solo una constante:

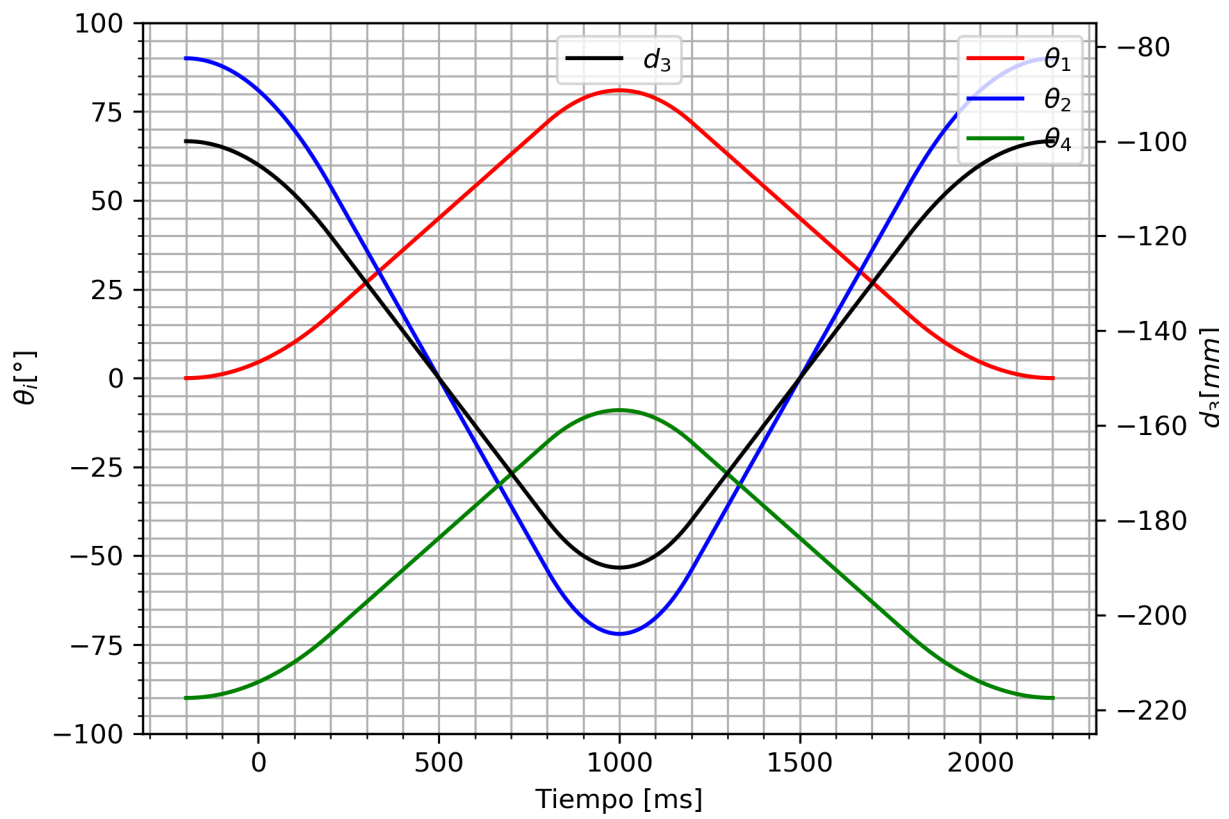


Figura 2.5: Evolución en el tiempo de las variables articulares



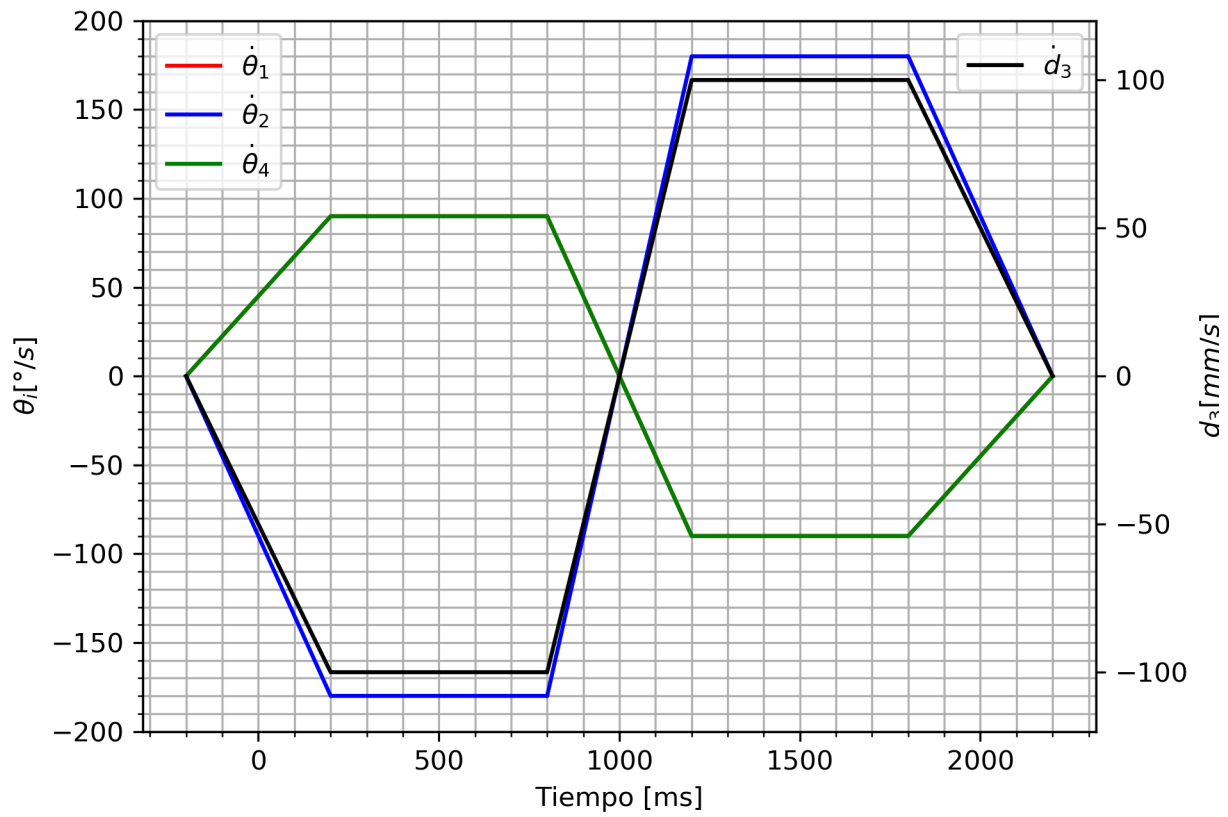


Figura 2.6: Evolución en el tiempo de las derivadas de las variables articulares

Por último se graficó la trayectoria del TCP proyectada en el plano XY. Se observa que si bien ambas POSEs tiene la misma coordenadas en  $X = Y = 200 \text{ mm}$ , durante 2 intervalos de tiempo la trayectoria se mueve de forma lineal desde el punto  $(X,Y) = (200,200)\text{mm}$  hasta el punto  $(X,Y) = (283,283)\text{mm}$ . Esto se debe a que la variable articular  $\theta_1$  debe cambiar de  $0^\circ$  a  $90^\circ$  mientras que  $\theta_2$  debe cambiar de  $90^\circ$  a  $-90^\circ$  en el mismo intervalo de tiempo. Esto produce que exista un instante de tiempo donde  $\theta_1 = 45^\circ$  y  $\theta_2 = 0^\circ$  generando un triángulo rectángulo desde el origen de la terna base donde la hipotenusa mide  $a_1 + a_2 = 400\text{mm}$  y está a  $45^\circ$ . Por lo tanto, los catetos que representan las coordenadas X e Y con respecto a la terna base miden  $X_c = 400\text{mm} \times \cos(45) = 282,8\text{mm}$  e  $Y_c = 400\text{mm} \times \sin(45) = 282,8\text{mm}$

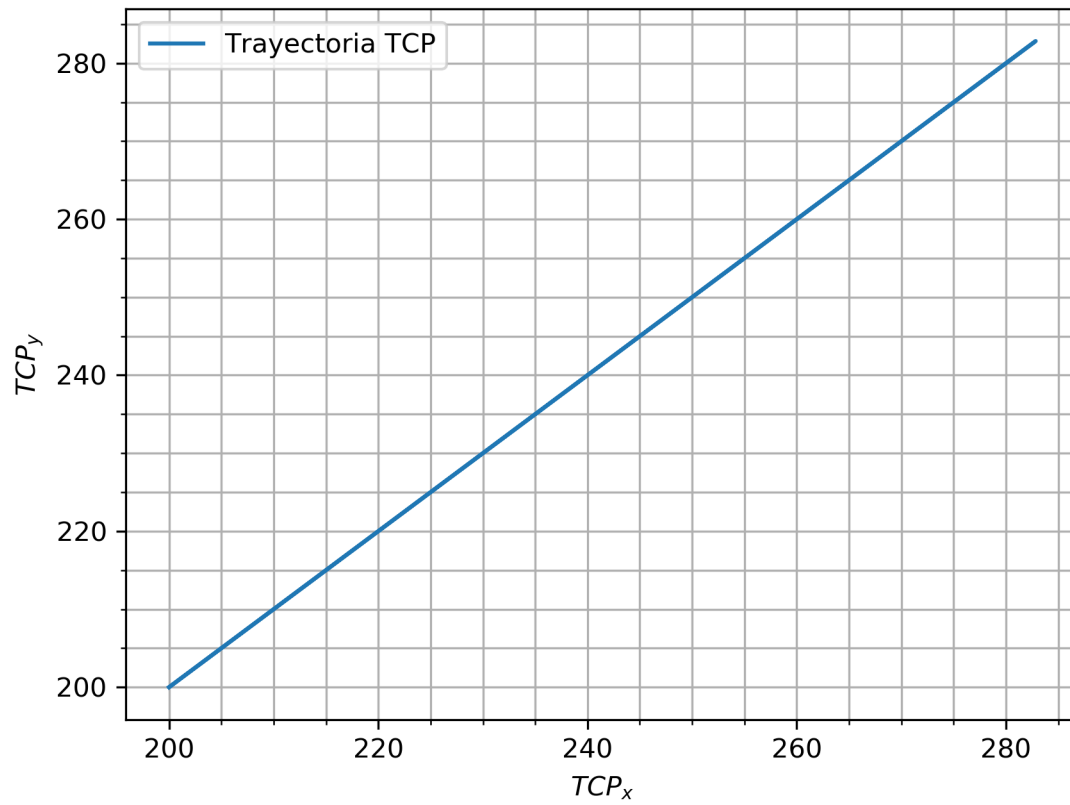


Figura 2.7: Trayectoria del TCP

### 3. Conclusiones

Se logró resolver e implementar el problema directo e inverso del robot SCARA. Se generó una función capaz de simular el movimiento *joint* de las variables articulares observando su evolución temporal así como también la evolución de sus derivadas. Además se agregó a la función la posibilidad de graficar la trayectoria del TCP